

Recuperación y procesamiento de datos biológicos mediante Ingeniería Dirigida por Modelos.*

Abel Gómez, Artur Boronat,
Jose Á. Carsí, Isidro Ramos

Departament de Sistemes Informàtics i Computació.

Universitat Politècnica de València.

Camino de Vera, s/n.

46022 València. España.

{ agomez | aboronat | pcarsi | iramos } @ dsic.upv.es

Claudia Täubner,
Silke Eckstein

Institut für Informationssysteme.

Technische Universität Braunschweig.

Mühlenpfordtstraße 23, 2.OG.

D-38106 Braunschweig. Deutschland.

{ c.taubner | s.eckstein } @ tu-bs.de

Resumen

Este artículo muestra cómo el proceso de desarrollo de software dirigido por modelos (DSDM) es aplicable al campo de la bioinformática ya que la estructura de los datos biológicos se puede expresar mediante modelos de forma muy natural. En el contexto de la bioinformática es común la existencia de fuentes de datos (rellenadas de forma manual) heterogéneas. Con el objetivo de validar la información de estas fuentes de datos, se han adaptado diversos formalismos y herramientas de simulación. El proceso de introducción de datos —obtenidos de estas bases de datos— en las herramientas de validación se realiza tradicionalmente de forma manual. Este trabajo describe cómo se ha resuelto este problema siguiendo una metodología de DSDM empleando transformaciones de modelos. Esto permite automatizar el proceso de migración de datos, obtener herramientas modulares, aislar el proceso de transformación de datos de los formatos de persistencia de estos, y disponer de información de trazabilidad.

Palabras clave: Desarrollo de Software Dirigido por Modelos (DSDM), bioinformática, migración de datos.

*Este artículo ha sido financiado por el Proyecto Nacional de Investigación Científica, Desarrollo e Innovación META TIN2006-15175-C05-01.

1. Motivación.

La práctica tradicional en los estudios científicos de «experimentación → análisis → publicación» está cambiando a «experimentación → organización de datos → análisis → publicación». Esto se debe a que, hoy en día, los datos no se obtienen únicamente de experimentos, sino que también se obtienen de simulaciones. Esta gran cantidad de datos generados no siempre tiene la misma estructura y puede estar almacenada en bases de datos heterogéneas. Además, el elevado número de datos requiere el desarrollo de herramientas informáticas que nos permitan representarlos para analizarlos, y a su vez, realizar otras simulaciones con ellos.

En el campo de la bioinformática encontramos esta problemática en el análisis y simulación de los mecanismos de señales de las células (*Pathways*). Un *pathway* es un conjunto de reacciones químicas que se producen en el interior de una célula tras la recepción de un estímulo. En estudios de este tipo se observa tanto el relleno independiente de fuentes de datos como el desarrollo independiente de herramientas de modelado. Por ello, estos datos deben ser reconvertidos de forma manual para que puedan ser utilizados en las herramientas de simulación. En un escenario así, disponer de herramientas interoperables es deseable.

El Desarrollo de Software Dirigido por Mo-

delos —DSDM— es una aproximación que pretende dar solución a problemas como éste. En el DSDM, un modelo es una estructura de datos que puede ser definida mediante un lenguaje de modelado (generalmente llamado metamodelo). Un modelo permite definir la funcionalidad, estructura y/o comportamiento de un sistema [8] dependiendo del metamodelo utilizado. La utilización de modelos en un proceso de DSDM permite automatizar el desarrollo de aplicaciones y su evolución mediante técnicas de programación generativa [2], como las transformaciones de modelos y la generación de código.

Este artículo muestra cómo la filosofía de DSDM permite resolver los problemas surgidos en el estudio de los caminos de señales en el campo de la bioinformática. Los problemas de interoperabilidad entre aplicaciones pueden abordarse de una manera sistemática, donde (a) el formato de datos puede definirse como un modelo y (b) los datos se definen como una colección de objetos que son instancia de las clases del este modelo. El tratamiento de los datos desde la perspectiva del DSDM permite (c) el desarrollo de herramientas donde el tratamiento de éstos sea independiente de los formatos de persistencia, obteniendo herramientas más modulares. Esto a su vez facilita (d) la automatización en la migración de los datos mediante el uso de técnicas de transformaciones de modelos. Todos estos factores reducen el coste de producción de las herramientas afectando de forma directa y positiva en la productividad de los usuarios/biólogos.

El documento se organiza de la siguiente manera: en el apartado 2 se expone el contexto biológico, introduciendo las razones por las que es interesante el estudio de los caminos de señales (*pathways*), y se describe la aproximación actual, en la que esto es un proceso poco eficiente. El apartado 3 introduce las bases del desarrollo dirigido por modelos y la tecnología empleada para llevar a cabo la migración de datos. En el apartado 4 se describe la solución diseñada para resolver las deficiencias de la aproximación actual, y por último en el apartado 5 se exponen las conclusiones finales y trabajos futuros.

2. Caso de estudio.

Numerosos procesos biológicos son controlados por los denominados *mecanismos de señales*. Un camino de señales —*signaling pathway*— es una colección de reacciones químicas que tienen lugar en una célula como reacción a un estímulo¹ (generalmente externo) disparando diversos eventos en el interior de ésta. Estos eventos son los que controlan la progresión del ciclo de vida (muerte, crecimiento, especialización), activación o desactivación de genes para el momento de la reproducción, el movimiento de la célula, etc. El estudio de estos caminos de señales se realiza mediante el ensayo empírico de los estímulos externos que recibe una célula y recogiendo los datos sobre las reacciones químicas desencadenadas en su interior. Estos datos obtenidos de forma experimental por los biólogos son almacenados en diferentes bases de datos para su posterior estudio y consulta por otros expertos. Existen diversas fuentes donde es almacenada la información como por ejemplo TRANSPATH[®], BioCarta, KEGG o Reactome.

Las reacciones químicas involucradas en una *pathway* suelen ser un proceso en cascada, produciéndose entonces reacciones de forma concurrente. Por ello, para el modelado y análisis de estos procesos biológicos se han adaptado y aplicado algunos de los formalismos desarrollados para el análisis de sistemas concurrentes. Ejemplo de ello son aproximaciones en π -cálculo [12], ambient calculus [11], *Life Sequence Charts* (LSCs) [3] o redes de Petri [7].

El caso de estudio parte de los trabajos realizados por Taübner et al. [13], donde se ha modelado, simulado y validado el *pathway* del *receptor de tipo toll 4* (TLR4) —que se introduce en el siguiente punto— mediante redes de Petri coloreadas. A continuación se expone en primer lugar el contexto biológico describiendo el problema abordado en [13] y en segundo lugar se describen los detalles tecnológicos de éste: fuente de datos y herramienta de simu-

¹Un estímulo puede ser, por ejemplo, la presencia de una determinada molécula en el entorno de la célula.

lación seleccionadas y proceso de extracción y tratamiento de los datos.

2.1. Los receptores de tipo *Toll*. El *pathway* TLR4.

Los receptores de tipo *Toll* —*Toll-like receptors (TLR)*— son una familia de proteínas que forman parte del sistema inmunitario. Permiten la adaptación del sistema inmune de diversos seres vivos siendo responsables del reconocimiento de diversos patrones (secuencias de moléculas) que identifican a diferentes patógenos. Una vez reconocido el patógeno (cualquier entidad biológica capaz de producir daño) estimulan la respuesta de defensa contra él por parte del sistema inmunitario.

Actualmente se han identificado trece receptores de tipo *Toll* en humanos (TLR1-TLR13). Estos receptores reconocen moléculas que están constantemente asociadas a amenazas contra el sistema inmune y que son muy específicas a estas amenazas, no pudiendo confundirlas con moléculas propias. Algunas de estas moléculas específicas pueden ser los *lipopolisacáridos* (LPS) presentes en la superficie de células bacterianas, proteínas presentes en los flagelos de bacterias, ARN de doble cadena presente en virus, etc.

Para el caso de estudio, por simplicidad, se toma como ejemplo una pequeña parte del *pathway* en el que interviene el receptor de tipo *Toll 4* —TLR4—, por ser el primero reconocido en mamíferos y el mejor estudiado hasta el momento. A continuación se indican las reacciones que serán transformadas en el caso de estudio.

1. $LPS + LBP \rightleftharpoons LPS:LBP$
2. $LPS:LBP + CD14 \rightleftharpoons LPS:LBP:CD14$
3. $ST2 + TIRAP \rightleftharpoons ST2:TIRAP$
4. $ST2 + MyD88 \rightleftharpoons ST2:MyD88$

La notación expresa a la izquierda los reactivos y a la derecha los productos. El símbolo « \rightleftharpoons » expresa que esta reacción es bidireccional, ya que se trata de una reacción de *equilibrio químico* —informalmente se puede describir como una reacción que se mantiene hasta que los reactivos y los productos alcanzan un estado de equilibrio, no llegándose a consumir ninguno de los dos—. Para (1), por ejem-

plo, podríamos expresar de forma sencilla lo siguiente: *la molécula LPS se une a la molécula LBP, dando lugar a la molécula compuesta LPS:LBP.*

2.2. Aproximación actual en el estudio del *pathway* del TLR4 en bioinformática.

Son numerosas las fuentes de datos de las que se puede extraer información sobre el *pathway* del TLR4. Algunas de ellas pueden ser TRANSPATH[®], KEGG, Reactome o BioCarta. Estas bases de datos han sido rellenas a partir de estudios empíricos y pueden contener información incompleta e incluso contradictoria. Los actuales trabajos para la representación y simulación de *pathways* se dirigen en la representación y simulación de estos *pathways* para poder validar la información obtenida en los estudios empíricos.

Con ese objetivo se han adaptado diversos formalismos gráficos para la simulación de *pathways* biológicos. Ejemplos de ello son los diagramas de estados [14], los *Life Sequence Charts* [14, 3], o las redes de Petri coloreadas [13]. El trabajo en el que se fundamenta la solución aquí presentada describe un proceso mediante el cual es posible extraer los datos del *pathway* TLR4 de la base de datos TRANSPATH[®] con el objetivo de simularlo mediante la herramienta de simulación y validación de redes de Petri coloreadas *CPN Tools*.

TRANSPATH[®] es una base de datos que almacena información acerca de caminos de señales. Permite la exportación de datos en XML, y en su versión 7.4 contiene información sobre 62.549 moléculas, 23.076 genes y 104.362 reacciones. Una red de Petri, por su parte, es una representación formal para un sistema distribuido discreto, que permite representar eventos concurrentes. La red se forma por nodos (llamados lugares), transiciones y arcos dirigidos. Estos arcos conectan siempre un lugar con una transición o una transición con un lugar. En los lugares puede haber un determinado número de tokens, que pueden moverse de un lugar a otro cuando una transición se dispara (una transición se habilita cuando todas sus entradas contienen to-

kens). La figura 1 muestra un ejemplo de red de Petri, donde los círculos blancos son los lugares, el rectángulo relleno de color negro es una transición, las flechas son los arcos dirigidos, y los puntos negros, los tokens.

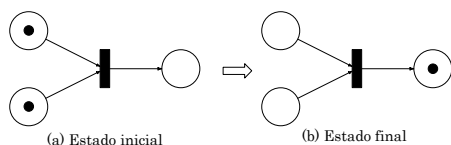


Figura 1: Ejemplo de red de Petri.

Una red de Petri coloreada es aquella en la que los tokens pueden tener un determinado color (esto es, algún atributo distintivo), pudiendo caracterizar tokens de diferentes tipos. *CPN Tools* es una herramienta que permite la construcción, modificación y validación sintáctica de redes de Petri coloreadas de forma gráfica. Dispone además de un simulador (tanto interactivo como automático) para poder inspeccionar la evolución de estos modelos.

En [13] el método empleado para poder realizar la simulación a partir de los datos almacenados en *TRANSPATH*[®] es manual. Esto supone que el usuario/biólogo que va a realizar la simulación debe consultar de forma manual la base de datos obteniendo el listado de reacciones que intervienen en el *pathway* que desea estudiar. Con los datos obtenidos debe crear y editar de forma manual la correspondiente red de Petri coloreada en *CPN Tools*, creando uno a uno cada uno de los lugares, transiciones, arcos, tokens, etc. En el trabajo al que se hace referencia, esto supuso crear de forma manual —y únicamente para el ejemplo del *pathway* del TLR4— 75 lugares, 47 transiciones y casi un centenar de colores.

3. Ingeniería Dirigida por Modelos.

La Ingeniería Dirigida por Modelos es un campo en la Ingeniería del Software que, durante años, ha representado los artefactos software como modelos con el objetivo de incrementar la productividad, calidad, y reducir los gastos en el proceso de desarrollo de software. Recientemente, existe un interés creciente en este

campo. Prueba de ello es la aproximación de Model Driven Architecture [8], apoyada por la OMG.

El Desarrollo Dirigido por Modelos ha evolucionado del campo de la Ingeniería Dirigida por Modelos. En él, no sólo las tareas de diseño y generación de código están involucradas, sino que también se incluyen las capacidades de trazabilidad, tareas de meta-modelado, intercambio y persistencia de modelos, etc. Para poder abordar estas tareas, las operaciones entre modelos, transformaciones, y consultas sobre ellos son problemas relevantes que deben ser resueltos. En el contexto de MDA se abordan desde el punto de vista de los estándares abiertos. En este caso, el estándar Meta Object Facility (MOF) [10], proporciona un mecanismo para definir metamodelos. El estándar Query/Views/Transformations (QVT) [9] indica cómo proporcionar soporte tanto para transformaciones como para consultas. A diferencia de otros lenguajes nuevos, QVT se apoya en el ya existente lenguaje *Object Constraint Language* (OCL) para realizar las consultas sobre los artefactos software.

3.1. MOMENT. Un framework para la Gestión de Modelos.

MOMENT [1] es una herramienta que da soporte a los estándares propuestos por el OMG para dar soporte a transformaciones. La herramienta proporciona un soporte algebraico para las tareas de transformación y consulta de modelos mediante un eficiente sistema de reescritura de términos —Maude— y desde un entorno de modelado industrial —Eclipse Modeling Framework (EMF)—. EMF [5] puede ser visto como una implementación del estándar MOF, y permite la importación automática de artefactos software desde orígenes de datos heterogéneos: modelos UML, esquemas XML, etc. Respecto a Maude, MOMENT aprovecha las capacidades de modularidad y parametrización de este sistema para proporcionar un entorno de transformación y consulta de modelos de forma genérica e independiente de metamodelo.

Como lenguaje para transformaciones MOMENT se apoya sobre el estándar abier-

to QVT, proporcionando una implementación tanto del lenguaje QVT-Relations como de OCL. QVT-Relations es un lenguaje de transformaciones declarativo que proporciona de forma implícita capacidades de trazabilidad. Para este lenguaje, MOMENT ofrece un amplio soporte para transformaciones unidireccionales 1-a-1. Además, esta herramienta proporciona una completa implementación de los operadores de consulta del lenguaje *OCL*.

4. Un enfoque de DSDM en la migración de datos biológicos.

En el trabajo inicial sobre el estudio del *pathway* del TLR4 la migración de datos desde la base de datos origen hasta la herramienta de simulación para su representación mediante una red de Petri coloreada debe realizarse de forma manual. A continuación se muestra una solución al problema de migración de datos del caso de estudio empleando transformaciones, según la filosofía de desarrollo de software dirigido por modelos. Esto supone las siguientes tareas: (a) desarrollo del modelo de datos del dominio origen (TRANSPATH[®]) y (b) desarrollo del modelo de datos del dominio destino (CPN Tools). (c) Definición mediante un lenguaje de transformaciones las reglas de transformación entre el dominio origen y el dominio destino; (d) implementación del mecanismo de preprocesado de datos permitiendo reconstruir los datos originales como instancias del modelo origen, y (e) definición del postprocesado de los datos, que implementa el mecanismo de persistencia al formato final.

A continuación se presenta la solución proporcionada. En primer lugar, se describe el proceso de transformación y sus etapas, en segundo lugar se describen los modelos del dominio origen y el modelo destino, y por último, se describe en mayor detalle el proceso de transformación.

4.1. Arquitectura e implementación de la herramienta.

El proceso de migración de datos, tal y como se deriva de las tareas anteriores, se realiza en

tres pasos: (1) recuperación y pre-procesado de los datos, (2) ejecución de la transformación mediante un motor de transformaciones y (3) post-procesado y persistencia de los datos. En una aproximación de DSDM, el uso de un motor de transformaciones implica que se deben definir en primer lugar los modelos origen y destino de la transformación para poder establecer las correspondencias entre uno y otro posteriormente.

La solución aquí presentada hace uso de MOMENT. MOMENT es una herramienta integrada en el entorno Eclipse que proporciona soporte para transformaciones. Como entorno de modelado, MOMENT emplea el *Eclipse Modeling Framework* (EMF). Este *framework* proporciona como lenguaje de modelado Ecore. Además, emplea como formato de persistencia XMI. EMF permite —entre otros— la creación de modelos Ecore a partir de un esquema XSD. No obstante, los modelos Ecore obtenidos a partir de esquemas XSD son complejos y no siempre representan la semántica de los datos de forma clara. Por ello, se ha decidido definir de forma manual los modelos origen y destino, teniendo sólo en cuenta aquella información relevante para el caso de estudio.

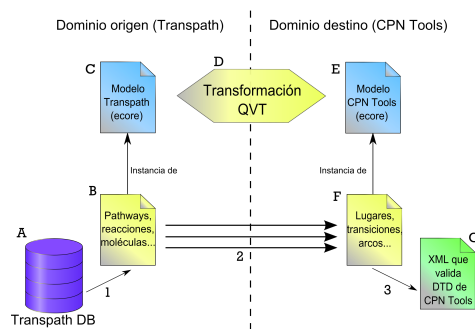


Figura 2: Arquitectura de la herramienta.

La figura 2 muestra la arquitectura de la herramienta. En ella se reflejan de forma clara los 3 pasos necesarios para realizar la migración de los datos. En primer lugar se extraen los datos de la base de datos TRANSPATH[®] (A), y se reconstruyen como una instancia en XMI (B) del modelo Ecore de TRANSPATH[®] (C). Este primer paso (1) se realiza de forma

sencilla en Java ya que la correspondencia de los datos origen con el modelo en EMF es directa. La implementación de este primer paso de pre-procesado de los datos es una adaptación del trabajo realizado en [15].

El segundo paso de la migración (2) es el principal y más complejo. Se realiza mediante MOMENT y su motor de transformaciones, ejecutando la transformación del dominio de TRANSPATH[®] (reacciones, moléculas, etc.) al dominio de *CPN Tools* (lugares, transiciones, arcos, etc.). Tras la definición de las reglas de transformación (D) entre los dominios origen (C) y destino (E), se aplica la transformación sobre los datos recuperados de la base de datos (B) obteniendo una instancia en el dominio de *CPN Tools* (F).

Por último, el tercer paso de la migración (3) es de nuevo un proceso trivial en el que se persisten los datos desde EMF (F) a un fichero XML comprensible por la herramienta *CPN Tools* (G). En este, paso además, pueden realizarse otras tareas de post-procesado, como por ejemplo, la inclusión de algún algoritmo de redibujado (*layout*) sobre los elementos de la red de Petri.

4.2. Desarrollo de los modelos.

En primer lugar se ha definido un modelo únicamente con las partes que resultan de interés para la simulación de un pathway eliminando los conceptos innecesarios de la compleja base de datos TRANSPATH[®]. La figura 3 muestra —mediante una metáfora visual similar al diagrama de clases de UML— el modelo Ecore desarrollado. En el modelo encontramos la clase *Network*, elemento raíz del modelo. Una Red —*Network*— contiene un conjunto de *Pathways*, *Reacciones* y *Moléculas*. A su vez, un *Pathway* se compone de diversas *Cadenas* —*Chains*— de reacciones, y una reacción puede estar involucrada en diferentes *cadena*s. Por último, las reacciones se relacionan con las moléculas. Una molécula puede ser un reactante de una reacción, puede ser un producto, o puede intervenir indirectamente como catalizador o inhibidor. Las clases *ReactantsCoefficient*, *ProductsCoefficient*, *EnzymesCoefficient* e *InhibitorsCoefficient* heredan todas de la clase

Coefficient, omitida por motivos de claridad, que contiene un atributo *coefficient* de tipo entero. Estas clases permiten expresar que una molécula interviene con un cierto coeficiente² en una reacción, e intentan representar, según la expresividad de Ecore, la semántica de una clase asociación.

La figura 4 muestra el modelo creado para la herramienta *CPN Tools*. En este caso, se ha decidido un diseño más alejado del diseño conceptual de una red de Petri Coloreada, incluyendo conceptos específicos de la propia herramienta *CPN Tools*. Esto se debe a que un diseño así que permite tratar con todos los conceptos interesantes de la herramienta *CPN Tools* desde EMF (color de los elementos gráficos y arcos, posiciones, etc.). Además, de esta manera el proceso de persistencia al fichero XML final es trivial, siendo una correspondencia 1-a-1.

El modelo —donde la clase raíz es *Cpnet*— se compone de dos grandes bloques de clases: aquellas que cuelgan de *Globbox* y aquellas que lo hacen de *Page*. La figura 4 muestra estos dos grandes grupos separados mediante una línea discontinua. El primer grupo de clases permite representar las declaraciones de la red (colores —*Color sets*—, *variables*, *bloques*, etc.). La herramienta permite definir distintos tipos de colores (*Color Sets*). De todos los tipos que proporciona, por simplicidad (ya que son los únicos necesarios) sólo se han incluido el *Color Set* simple «*Enumerated*» y el *Color Set* compuesto «*Product*».

El segundo grupo de clases (aquellas contenidas en el elemento *Page*) representan a todos los elementos visuales de la red de Petri coloreada. Estos elementos visuales heredan todos de la clase *DiagramElement*, y además, pueden estar contenidos en distintos grupos —*Group*—. Así, dentro de una *página* podemos encontrar lugares —*Places*—, transiciones —*Trans*—, arcos —*Arcs*—, anotaciones —*Annot*—, etc. Por su parte, se dice que los *lugares* que se han definido son de un tipo (co-

²El coeficiente representa el número de moléculas que aparecen en la ecuación de una reacción. Por ejemplo, en la reacción $2\text{H}_2 + \text{O}_2 = 2 \text{H}_2\text{O}$, los coeficientes son los números que aparecen a la izquierda de las moléculas H_2 y H_2O .

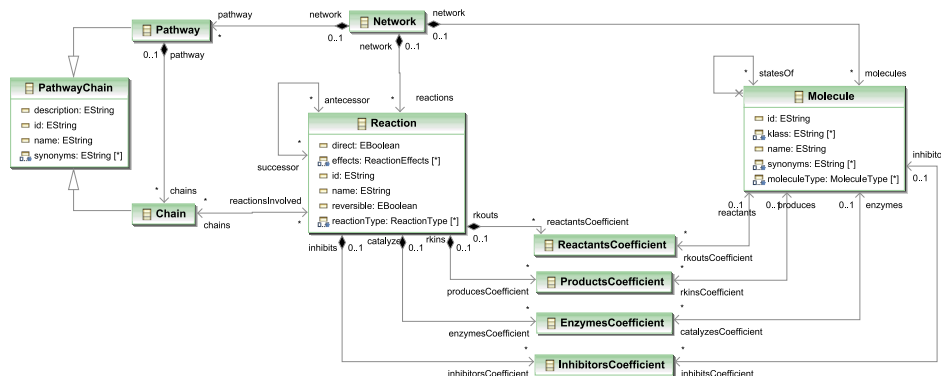


Figura 3: Modelo de la base de datos Transpath[®].

lor) que debe haber sido definido en las declaraciones (mediante el rol *type* desde la clase *Place* a la clase *ColorSet*). Las clases *InitMark* y *Mark* permiten representar el estado de un determinado *lugar*, indicando los tokens que se encuentran en éste. El tipo de estos tokens viene dado por el rol *colorSetElement* entre las clases *Mark* y *ColorSetElement*.

4.3. Proceso de transformación.

Finalmente, se han definido las reglas de transformación que permiten convertir los datos del dominio origen al dominio destino. Estas reglas, expresan las correspondencias establecidas por los biólogos —cuando construyen una red de Petri coloreada de forma manual— entre los datos de TRANSPATH[®] y las primitivas de la herramienta *CPN Tools*. La tabla 1 muestra de forma simplificada estas correspondencias entre el dominio origen y el dominio destino.

El lenguaje con el que se expresan las relaciones entre ambos dominios es QVT-Relations, que se describe de forma breve a continuación. En QVT-Relations, una transformación son un conjunto de relaciones establecidas entre los dominios participantes en la transformación que deben cumplirse para que ésta sea satisfactoria [9]. Un dominio es una variable tipada que puede corresponderse con algún elemento del modelo que va a transformarse. Éste puede tener un *patrón*, que puede considerarse como un conjunto de restriccio-

Transpath	CPN Tools
Network	Cpnet
Pathway	Globbox Page
Molecule (complex)	Product
Molecule (simple)	Enumerated
Reaction	Trans
Molecule (reactant)	Place Arc (de Place a Trans)
Molecule (product)	Place Arc (de Trans a Place)

Tabla 1: Correspondencias entre el dominio origen y el dominio destino.

nes que deben cumplir los elementos del modelo candidato —modelo sobre el que se aplica la transformación— para que se trate de una correspondencia válida.

Los dominios además, pueden caracterizarse mediante el uso de las palabras clave **checkonly** y **enforce**. Para un dominio **checkonly**, la transformación comprobará que existe una correspondencia válida —que satisfaga el patrón del dominio— en el modelo candidato. En caso de que el dominio destino sea **enforce**, si al ejecutar la transformación no existe ninguna correspondencia posible, se creará un elemento que cumpla con el patrón del dominio.

La *relación ReactantsToPlaces*, muestra un ejemplo de la sintaxis para la definición de *relaciones* y *dominios*. Esta *relación* establece la correspondencia entre una *molécula* y un *lugar*. Encontramos dos dominios: *tpDo-*

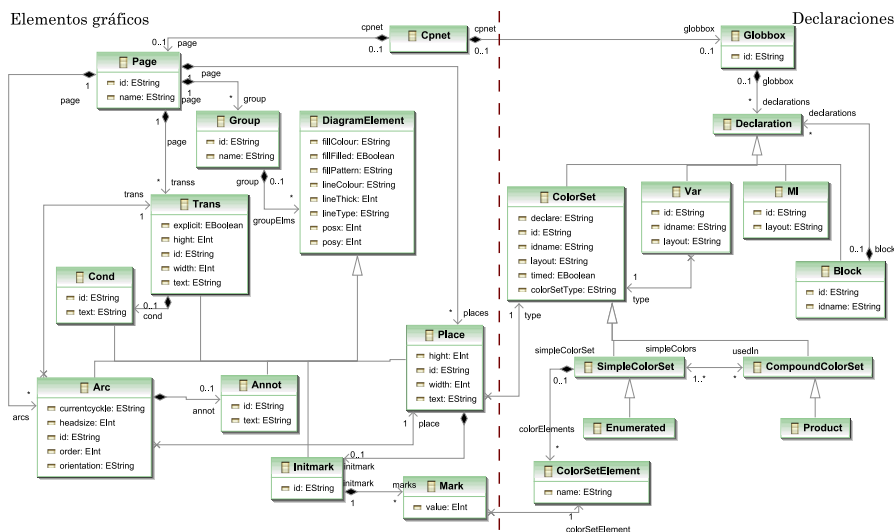


Figura 4: Modelo de la herramienta CPNTools.

main se corresponde con el dominio origen (TRANSPATH[®]) y *cpnDomain* con el dominio destino (CPN Tools). Para el dominio *tpDomain* se comprueba que exista una molécula con un atributo, *name*, de tipo *String*. Para cada molécula que cumpla este patrón deberá existir (y si no existe, se creará) un *Place* en el dominio destino (*cpnDomain*), cuyo atributo *id* contenga el nombre de dicha molécula.

```

relation ReactantsToPlaces {
  molecName1 : String;
  checkonly domain tpDomain molecule1 : Molecule
  { name = molecName1 };

  enforce domain cpnDomain place1 : Place
  { id = molecName1 };
  //...
  when
  { IsSimpleMolecule(molecule1); }
  where
  { ReactantsToArcs(molecule1,place1,...); }
}

```

Regla 1: Regla *ReactantsToPlaces*.

A la aplicación de una regla pueden añadirse pre- y post-condiciones mediante el uso de las cláusulas *when* y *where*. Por ejemplo, la regla *ReactantsToPlaces* sólo se aplicará en caso de que la molécula sea de tipo simple — *IsSimpleMolecule(...)* es una función que mediante una expresión OCL comprueba si la molécula es simple o compuesta—. La cláusula

where establece que tras la aplicación de la *relation* se procederá a la ejecución de la regla *ReactantsToArcs*.

El proceso de transformación completo se realiza de arriba a abajo, navegando el modelo origen a través de las relaciones de composición, definidas como asociaciones de composición. Esto es, se parte del elemento raíz del modelo origen (*Network*), y se navega hacia abajo (*Network* → *Pathways* → *Chains* → *Reactions* → *Coefficients* → *Molecules*) creando en el modelo destino los elementos correspondientes, tal y como expresa de forma resumida la tabla 1.

Para las declaraciones, la transformación creará un *ColorSet* de tipo *Enumerated* a partir de cada molécula simple. A partir de las moléculas complejas se crearán los *ColorSet* de tipo *Product*, y que estarán formados por los *Enumerated ColorSets* correspondientes a las moléculas simples que los forman.

Para los elementos visuales se parte de un objeto de tipo *Reaction*. Para cada reacción, se crea un objeto de tipo *Trans*. Navegando el rol *reactantsCoefficient* de la clase *Reaction* se obtienen los reactantes. Para cada uno de ellos, se crea un objeto *Place*. Por último ya es posible enlazar cada *place* recién creado con el

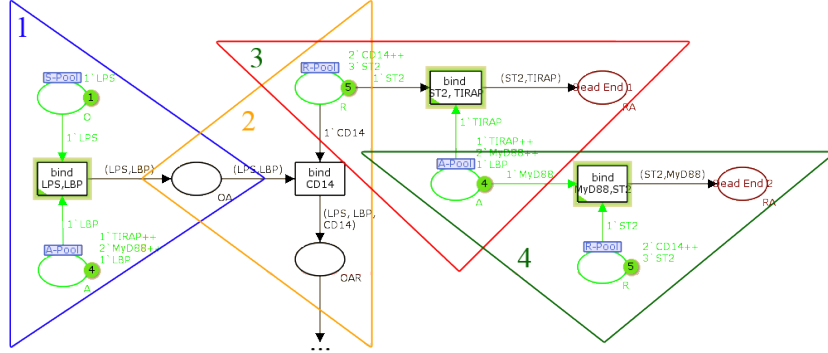


Figura 5: Representación parcial del Pathway del TLR4 en *CPN Tools*.

elemento *Trans* correspondiente mediante un arco —*Arc*— de tipo *PtoT* (*Place to trans*, según la terminología de *CPN Tools*). Para los productos de la reacción se procede de forma similar, en este caso navegando el rol *productsCoefficient*. Como resultado del proceso de transformación podemos observar la figura 5, que muestra la representación de las reacciones del caso de estudio en *CPN Tools*. En la figura se pueden observar cuatro triángulos numerados. Cada triángulo encierra los elementos generados para la reacción identificada con el mismo número. De esta manera, para la reacción (1) — $LPS + LBP \rightleftharpoons LPS:LBP$ —, se han generado los elementos dentro del triángulo izquierdo (1). De igual manera ocurre con los triángulos 2, 3 y 4, que se corresponden con las consiguientes reacciones.

El código completo de la transformación y los ficheros de ejemplo se encuentran en [6].

5. Conclusiones y trabajos futuros.

En este artículo se ha presentado un caso de estudio en el cual se aborda un problema de interoperabilidad entre aplicaciones en el campo de la bioinformática mediante un enfoque dirigido por modelos. En este entorno es común la existencia de fuentes de datos y herramientas de simulación heterogéneas, y la natural representación de los datos biológicos como modelos permite abordar estos problemas desde un punto de vista más eficiente (acortando el ciclo de vida del desarrollo de software) y más ele-

mente (puesto que las operaciones se realizan con un lenguaje más expresivo dada su naturaleza declarativa).

El trabajo presenta como ventajas frente a las aproximaciones tradicionales (1) la automatización de tareas que anteriormente se realizaban de forma manual; (2) el desarrollo de herramientas modulares, independizando el mecanismo de transformación del formato de persistencia de los datos y facilitando la extensibilidad y mantenibilidad. (3) Aprovecha las ventajas de las transformaciones de modelos. El uso de modelos para representar los datos a ser transformados permite representar de forma más clara la estructura de éstos, siendo más intuitiva su manipulación ya que se trabaja con conceptos de alto nivel. (4) Se proporcionan capacidades de trazabilidad de forma implícita, ayudando a la localización de información errónea en los orígenes de datos. Por último, (5) el uso de un lenguaje como QVT-Relations ofrece como ventaja (frente a las aproximaciones imperativas tradicionales) que permite expresar de forma declarativa —y por tanto más descriptiva— las correspondencias entre los dominios origen y destino.

Futuras líneas de investigación de esta aproximación dirigida por modelos para el desarrollo de aplicaciones en bioinformática van dirigidas en dos direcciones. En primer lugar, la representación de los datos biológicos como modelos permiten el aprovechamiento de los nuevos *frameworks* para la generación de metáforas visuales a partir de éstos, como es

el caso de *GMF*[4] o *MS DSL Tools*. Por otra parte las investigaciones en ingeniería dirigida por modelos pueden proporcionar un rico *background* tecnológico no únicamente para la transformación de datos de un dominio a otro, sino para tareas como la integración de estos obtenidos desde orígenes heterogéneos.

6. Agradecimientos

Agradecemos al Prof. Dr. H.D. Ehrich y M. Ziegler del *Institut für Informationssysteme* de la *Technische Universität Carolo-Wilhelmina zu Braunschweig*, su apoyo, colaboración y experiencia aportados en el desarrollo de este trabajo. Igualmente agradecemos su duro trabajo a Pascual Queralt como soporte en el uso de MOMENT-QVT.

Referencias

- [1] A. Boronat, J. Iborra, J. Ángel Carsí, I. Ramos, and A. Gómez. Del método formal a la aplicación industrial en gestión de modelos: Maude aplicado a eclipse modeling framework. *Revista IEEE América Latina*, September 2005.
- [2] K. Czarnecki and U. W. Eisenecker. *Generative programming: methods, tools, and applications*. ACM Press/Addison-Wesley Publishing Co., New York, NY, USA, 2000.
- [3] W. Damm and D. Harel. LSCs: Breathing life into message sequence charts. *Formal Methods in System Design*, 19(1):45–80, 2001.
- [4] Eclipse Organization. The graphical modeling framework, 2006. <http://www.eclipse.org/gmf/>.
- [5] EMF. <http://download.eclipse.org/tools/emf/scripts/home.php>.
- [6] A. Gómez. Ficheros de ejemplo para el caso de estudio, 2007. <http://moment.dsic.upv.es/jisbd07/files/>.
- [7] M. Heiner, I. Koch, and K. Voss. Analysis and simulation of steady states in metabolic pathways with petri nets, Aug. 02 2001.
- [8] Object Management Group. MDA Guide Version 1.0.1. 2003. <http://www.omg.org/docs/omg/03-06-01.pdf>.
- [9] Object Management Group. MOF 2.0 QVT final adopted specification (ptc/05-11-01). 2005. <http://www.omg.org/cgi-bin/doc?ptc/2005-11-01>.
- [10] Object Management Group. Meta Object Facility (MOF) 2.0 Core Specification (ptc/06-01-01), 2006. <http://www.omg.org/cgi-bin/doc?formal/2006-01-01>.
- [11] Regev, Panina, Silverman, Cardelli, and Shapiro. Bioambients: An abstraction for biological compartments. *TCS: Theoretical Computer Science*, 325, 2004.
- [12] A. Regev, W. Silverman, and E. Y. Shapiro. Representation and simulation of biochemical processes using the pi-calculus process algebra. In *Pacific Symposium on Biocomputing*, pages 459–470, 2001.
- [13] C. Taubner, B. Mathiak, A. Kupfer, N. Fleischer, and S. Eckstein. Modelling and simulation of the TLR4 pathway with coloured petri nets. *2006. EMBS '06. 28th Annual International Conference of the IEEE*, pages 2009–2012, August 2006.
- [14] C. Taubner and T. Merker. Discrete modelling of the ethylene-pathway. In *IC-DEW '05: Proceedings of the 21st International Conference on Data Engineering Workshops*, page 1152, Washington, DC, USA, 2005. IEEE Computer Society.
- [15] M. Ziegler. Implementierung eines Transformationsmoduls in Java zur Abbildung von Signaltransduktions-Instanzen auf CPN-Instanzen. Master's thesis, Technische Universität Braunschweig, Braunschweig, Januar 2007.